

УДК 677.054

## КОЛЕБАНИЯ БОБИНОДЕРЖАТЕЛЯ ПРИ СЛУЧАЙНЫХ ВОЗМУЩЕНИЯХ

И.К. ПЧЕЛИН, В.В. КОТИН

(Московский государственный текстильный университет им. А.Н. Косыгина)

В [1] изучались вынужденные колебания бобинодержателей с линейной и нелинейной характеристиками тела намотки бобины.

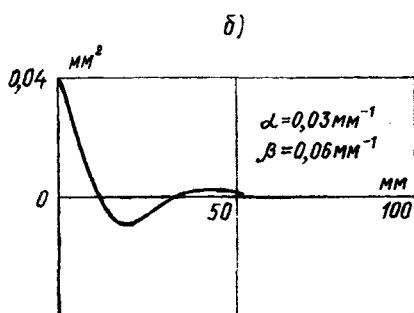
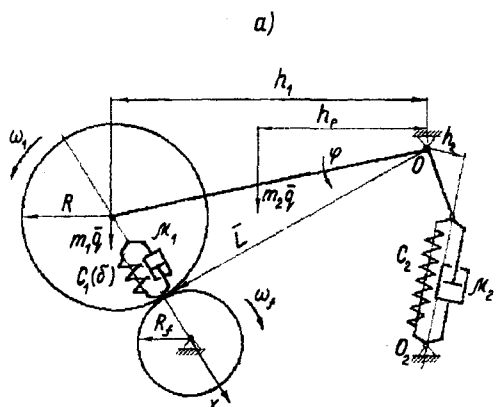


Рис. 1

Рассмотрим колебания системы на основе ее стохастической динамической модели (рис.1-а). Эксцентризитет бобины представим в виде  $e_1(s) = e + q(s)$ , где  $e$  – математическое ожидание случайной функции  $e_1(s)$ , а  $q$  – центрированная стационарная случайная функция окружной координаты  $s$  поверхности тела намотки.

В процессе намотки возникают вынужденные колебания, возбуждаемые кинематически вследствие изменения радиальной деформации тела намотки. Радиальная деформация  $\delta$  ( $\delta > 0$ ; при отрыве бобины от фрикционного вала  $\delta = 0$ ) выражается в виде:

$$\delta = \delta_{\text{ст}} + L\varphi + (e + q)\sin(\omega_l t) - e_f \sin(\omega_f t + \theta),$$

где  $\delta_{\text{ст}}$  – статическая деформация тела намотки в положении равновесия при  $e_1 = e_f = 0$ ;  $\varphi$  – угол поворота рычага бобинодержателя, отсчитываемый от положения равновесия системы при  $e_1 = e_f = 0$  против хода часовой стрелки;  $e_f$  – эксцентриситет фрикционного (мотального) вала;  $\omega_l$  – угловая скорость бобины;  $\omega_f$  – угловая скорость фрикционного вала.

Экспериментальные графики  $F=F(\delta)$  характеристик упругости тела намотки, приведенные в [1], позволяют аппроксимировать их в виде

$$F = c\delta + d\delta^3 \quad \text{при } \delta > 0; \quad F = 0 \quad \text{при } \delta = 0,$$

где  $c$  и  $d$  – постоянные коэффициенты, определяемые с помощью графиков ( $F$  – сила упругости, соответствующая радиальной деформации  $\delta$ ).

При деформациях тела намотки величина демпфирования весьма существенно влияет на кинематическое возбуждение колебаний. По данным, приведенным в [1], демпфирование можно идентифицировать эквивалентным вязким трением. Тогда радиальная сила вязкого трения, приложен-

ная к бобине (проекция силы на ось x (рис. 1)), выразится в виде

$$R_x = -\mu_1 \dot{\delta}$$

или

$$R_x = -\mu_1(L\ddot{\phi} + \dot{q}\sin\omega_l t + (e + q)\omega_l \cos\omega_l t - e_f \omega_f \cos(\omega_l t + \theta)).$$

Стochastic differential equations of bobbin oscillations we get in the form (for  $\delta > 0$ ):

$$J\ddot{\phi} = (-c\delta - b\delta^3 + R_x)L + (m_1 h_1 + m_2 h_p)g + (c_2(\delta_{2ct} - h_2\phi) - \mu_2 h_2 \dot{\phi} h_2),$$

at the release of the bobbin from the driving shaft ( $\delta = 0$ ):

$$J\ddot{\phi} = (m_1 h_1 + m_2 h_p)g + (c_2(\delta_{2ct} - h_2\phi) - \mu_2 h_2 \dot{\phi} h_2),$$

where  $J$  – moment of inertia of the system relative to the axis of rotation of the lever of the bobbin holder;  $m_1$  and  $m_2$  – masses of the bobbin and the lever;  $c_2$  – stiffness of the pressure spring;  $\dot{q}$  – derivative of the random function  $q = q(s)$ .

Other designations are known from the scheme, given in Fig. 1-a.

In the process of winding the thread on the bobbin, the dimensions of the bobbin and the characteristics of the winding thread change, so in the differential equations of motion coefficients  $c, d, m_1, h_1, h_p, h_2, L, e$  and  $\mu_1$  are variables. However, the speed of their change is several orders of magnitude less than the frequency of the bobbin holder, so it is sufficient to consider the small changes in the area of the bobbin dimensions. Coefficients of the motion equation can be considered constant. This is a reasonable assumption that simplifies the solution of the equations, since they are essentially nonlinear and contain derivatives of the random function and its products.

For the study of bobbin holder oscillations, the solution of the equations was carried out on the computer using numerical methods for different realizations of random functions.

In [2] are given experimental graphs of typical correlation functions of the unevenness of the thread, which have the form,

shown in Fig. 1-b. They can be approximated by a function of the form

$$k(S) = \sigma^2 e^{-\alpha|S|} \cos \beta S,$$

where  $\sigma$  – mean square deviation of the unevenness;  $\alpha, \beta$  – correlation coefficient and correlation interval;  $S$  – current correlation interval.

Such a form will have a correlation function of the unevenness of the surface of the winding thread, whose values of the correlation coefficients should be determined experimentally (the graph in Fig. 1-b is built for the values of the parameters of the correlation function taken in the example below).

To solve the problem on the computer, it is necessary to have a discrete realization of the random process  $q(s)$ , whose values of the correlation coefficients should be determined experimentally (the graph in Fig. 1-b is built for the values of the parameters of the correlation function taken in the example below).

The Gaussian noise is generated with the help of a random number generator on the interval  $(0, 1)$ , and its realization is obtained by generating a random process  $q_i$  with the help of a digital filter of autoregression – a sliding average [3].

Для упрощения вычислений случайную функцию  $q(s)$  удобно представить в виде временного ряда  $q(t)$  заменой  $s = \omega_1 R t$  и шаг дискретизации  $\Delta s$  выбирать в виде  $\omega_1 R \Delta t$  (при  $\omega_1 = \text{const}$ ), где  $R$  – радиус бобины;  $\Delta t$  – шаг интегрирования дифференциальных уравнений. Тогда производная реализации случайной функции по времени легко получается из сформированного ряда численным дифференцированием.

На основе рассмотренной математической модели разработан пакет прикладных программ, позволяющих выполнять все указанные процедуры и моделировать процесс намотки как случайный процесс.

В качестве примера рассмотрим колебания бобинодержателя со следующими числовыми значениями основных параметров системы (значения приняты в соответствии с [1]):

$$\begin{aligned} J &= 0,03 \text{ кг}\cdot\text{м}^2; \quad m_1 = 0,76 \text{ кг}; \quad m_2 = 0,865 \text{ кг}; \\ R &= 0,07 \text{ м}; \quad R_f = 0,016 \text{ м}; \\ L &= 0,187 \text{ м}; \quad h_1 = 0,193 \text{ м}; \quad h_p = 0,09 \text{ м}; \\ h_2 &= 0,014 \text{ м}; \quad c = 15000 \text{ Н/м}; \\ d &= 10^{11} \text{ Н/м}^3; \quad c_2 = 6100 \text{ Н/м}; \quad \mu_1 = 20 \text{ Н}\cdot\text{с}/\text{м}; \\ \mu_2 &= 2 \text{ Н}\cdot\text{с}/\text{м}; \quad e = 0,6 \text{ мм}; \\ e_f &= 0,2 \text{ мм}; \quad \delta_{1\text{ст}} = 0,6 \text{ мм}; \quad \omega_f = 36 \text{ с}^{-1}; \sigma = 0,2 \text{ мм}. \end{aligned}$$

Числовые значения параметров корреляционной функции для основного варианта приняты равными:  $\alpha = 0,03 \text{ мм}^{-1}$ ;  $\beta = 0,06 \text{ мм}^{-1}$  (график корреляционной функции, приведенный на рис. 1-б, построен для этих значений).  $\Delta s = 2,34 \text{ мм}$  (для шага интегрирования  $\Delta t = 0,002 \text{ с}$ ).

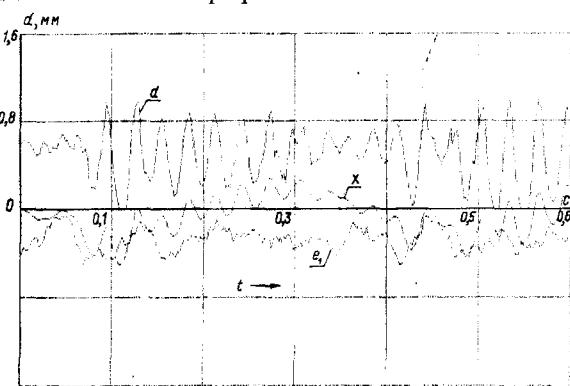


Рис. 2

В процессе моделирования параметры системы варьировались в окрестности принятых значений.

На рис. 2 изображены графики некоторых характеристик колебаний бобинодержателя с приведенными выше значениями параметров. На графиках в функции времени показаны случайные изменения  $e_1$  эксцентриситета бобины, динамические деформации  $d$  тела намотки и перемещения оси  $x$  вращения бобины. Как видно из графика изменений деформаций тела намотки, наибольшие значения деформаций в ~1,5 раза превышают величину статической деформации (0,6 мм), а наименьшие значения становятся равными нулю, то есть появляется отрыв бобины от фрикционного вала. Максимальные значения  $x$  составляют 1,54 мм. Основная частота колебаний равна частоте свободных колебаний исследуемой нелинейной системы в окрестности  $\delta_{1\text{ст}}$ .

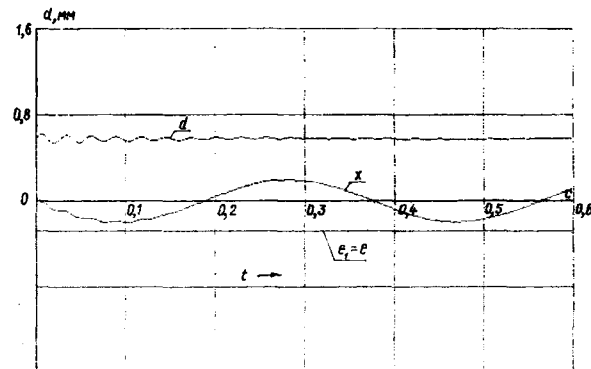


Рис. 3

Наглядная оценка влияния случайных возмущений на характеристики колебаний получается сравнением приведенных графиков с графиками этих же характеристик при отсутствии случайных возмущений ( $q(s)=0$ ), показанных на рис. 3. В этом случае составляющая свободных колебаний, вызванных начальным переходным процессом, быстро затухает, динамические деформации тела намотки практически постоянны и равны величине начального прижатия бобины к фрикционному валу, а бобина совершает безотрывные колебания с частотой ее вращения и амплитудой, равной эксцентриситету  $e$ .

Таким образом, хорошо работающая детерминированная система оказывается неудовлетворительной при действии случайных возмущений даже небольшой интенсивности (как следует из сравнения числовых значений параметров, приведенных выше, среднее квадратическое отклонение эксцентризитета составляет третью часть его математического ожидания).

Устранить отрывы при действии случайных возмущений можно различными способами, простейший из которых – увеличение начального значения величины прижатия. В рассмотренном примере при увеличении  $\delta_{1ct}$  до 0,9 мм отрывов не происходит, но увеличиваются размахи колебаний бобины и увеличивается частота колебаний.

В данном примере увеличение частоты не привело к плохим результатам, но в других случаях (при ином частотном составе случайных возмущений) это может даже ухудшить ситуацию – так могут возникнуть резонансные явления.

Наиболее простой статистической оценкой функционирования системы может служить функция распределения динамических деформаций бобины по отношению к статической величине прижатия:

$$f(\delta/\delta_{1ct}) = P(X < (\delta/\delta_{1ct})),$$

где  $P$  – вероятность соответствующего события;  $f$  – символ функции распределения.

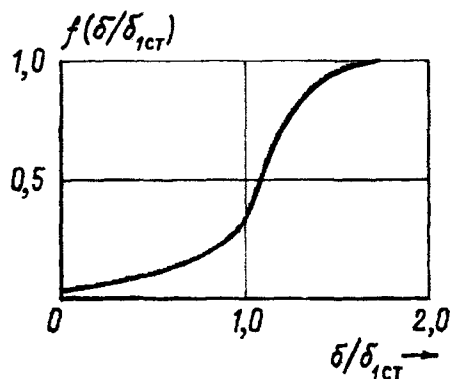


Рис. 4

График функции распределения, построенный на основе результатов расчетов системы с параметрами, приведенными выше для первых трех оборотов бобины, представлен на рис. 4.

Из графика следует, что вероятность отрыва бобины от фрикционного вала равна 0,045, что, несмотря на малую величину, недопустимо, а вероятность работы с величиной прижатия, превышающей  $\delta/\delta_{1ct}=1$ , равна 0,34 (для линейной системы она равнялась бы 0,5).

## ВЫВОДЫ

1. Расчеты динамики бобинодержателя на основе детерминированной модели не обеспечивают допустимых условий его работы в реальных условиях при действии случайных возмущений.

2. Разработанные динамическая и математическая модели и реализующие их программы для моделирования на ЭВМ позволяют исследовать колебания бобинодержателя при любых его параметрах и характеристиках случайных возмущений и подбирать параметры системы, обеспечивающие ее удовлетворительную работу.

## ЛИТЕРАТУРА

1. Коритысский Я.И. Динамика упругих систем текстильных машин. – М.: Легкая и пищевая промышленность, 1982.

2. Севостьянов А.Г. Современные методы исследования неровноты продуктов хлопкопрядения. – М.: Легкая индустрия, 1966.

3. Вибрации в технике: Справочник, т.1. – М.: Машиностроение, 1978.

Рекомендована кафедрой теоретической механики. Поступила 05.04.02.